

유한체 상의 지수 함수의 분류와 암호학에의 응용

박상우*, 김광조*

Classification of Exponent Permutations
over finite fields $GF(2^n)$ and its applications

Sangwoo Park, Kwangjo Kim

요약

유한체 $GF(2^n)$ 상의 모든 지수 함수들의 군에 동치 관계를 정의하고, 이들 동치 관계에 의해 분류된 각 동치류에 속하는 지수 함수들은 동일한 암호학적 성질을 가짐을 보인다. 그리고, $GF(2^7)$ 과 $GF(2^8)$ 상의 모든 지수 함수들을 분류한다. 다음으로 지수 함수 분류의 3 가지 응용을 제시한다. 우선 $GF(2^n)$ 상의 2개의 지수 함수의 연접에 의한 $n \times 2n$ S(substitution)-box의 설계 방법을 제안하고, 그들의 입·출력 변화 내성과 선형 내성을 분석한다. 그리고, Eurocrypt '93에서 Beth가 세운 가설이 그릇된 것임을 지적하고, LOKI 블록 알고리즘에 사용된 S-box의 안전성에 대하여 논한다.

Abstract

In this paper, we define an equivalence relation on the group of all permutations over the finite field $GF(2^n)$ and show each equivalence class has common cryptographic properties. And, we classify all exponent permutations over $GF(2^7)$ and $GF(2^8)$. Then, three applications of our results are described. We suggest a method for designing $n \times 2n$ S(substitution)-boxes by the concatenation of two exponent permutations over $GF(2^n)$ and study the differential and linear resistance of them. And we can easily indicate that the conjecture of Beth in Eurocrypt '93 is wrong, and discuss the security of S-box in LOKI encryption algorithm.

1. 서론

일반적으로, 블록 알고리즘의 안전성은 대

치(substitution)와 치환(permuation)의 반복을 통하여 강화된다. 암호학적으로 안전한 치환의 주요 필수 조건으로는 높은 비선형치(nonlin-

* 한국전자통신연구소 부호기술연구부 부호1실

earity), 높은 대수적 차수(algebraic degree), 입·출력 변화 공격법(differential attack)^[4]에 대한 안전성. 그리고, 선형 공격법(linear attack)^[11]에 대한 안전성 등이 있으며, 특히 치환의 한 종류인 지수 함수(exponent permutation)의 특별한 형태들은 비선형치와 대수적 차수가 높고, 입·출력 변화 공격법과 선형 공격법에 대하여 우수한 안전성을 가지는 것으로 알려져 있다^[13].

본 논문에서는 유한체 $GF(2^n)$ 상의 모든 지수 함수들의 군(group) 상에 동치 관계(equivalence relation)를 정의하고, 정의된 동치 관계에 의해 분류된 동치류(equivalence class)가 유한체 상의 모든 지수 함수들의 군에 대한 법(modulo) 순환군(cyclic group) $\langle x^2 \rangle$ 의 잉여 집합(residue set)과 동일함을 증명한다. 그리고, 동일한 동치류에 속하는 지수 함수들은 동일한 암호학적 성질을 가짐을 보인다. 다음으로, 컴퓨터 조사를 통해, 유한체 $GF(2^7)$ 과 $GF(2^8)$ 상의 모든 지수 함수들을 분류한다. 또한, 이들 결과의 응용으로, $GF(2^n)$ 상의 두개의 지수 함수의 연접에 의한 $n \times 2n$ S-box 설계 방법을 제안하고, 그들의 암호학적 성질을 분석한다. 그리고, Eurocrypt '93에서 Beth가 제안한 가설^[2]의 반례를 보이고, 블록 암호 알고리즘 LOKI^[6, 5]에 사용된 S-box의 안전성에 대하여 논한다.

2. $GF(2^n)$ 상의 지수 함수의 분류

P_n 을 유한체 $GF(2^n)$ 상의 모든 치환들의 집합이라 하자. 유한체 $GF(2^n)$ 상의 임의의 다항식(polynomial) x^e 이 치환이면, $gcd(e, 2^n - 1) = 1$ 이고, 그 역 또한 성립한다. 그리고, 이러한 다항식을 유한체 $GF(2^n)$ 상의 지수 함수라 하며, $GF(2^n)$ 상의 모든 지수 함수들의 집합을 $\mathcal{EP}_n = \{x^e \mid gcd(e, 2^n - 1) = 1, x \in GF(2^n)\}$ 로 나타낸다. $GF(2^n)$ 상의 치환 $f(x)$ 와 $g(x)$ 에 대해

서, 합성 치환 $h(x) = f(x) \circ g(x)$ 은 $h(x) = f(g(x)) \bmod(x^{2^n} - x)$ 로 정의되며, 이 연산에 대해서, P_n 은 군을 이루고, \mathcal{EP}_n 은 P_n 의 가환부분군(abelian subgroup)이다. 그리고, $x^{e_1}, x^{e_2} \in \mathcal{EP}_n$ 에 대해서, $x^{e_1} = x^{e_2}$ 이면 $e_1 = e_2 \bmod(2^n - 1)$ 이고, 역도 성립한다. 다음 정리는 유한체론의 기본 정리이다.

■ 정리 1^[10] $GF(2)$ 의 임의의 원소를 고정시킨 $GF(2^n)$ 상의 자기동형사상(automorphism)들의 집합 $\mathcal{G}(GF(2^n)/GF(2))$ 은 $GF(2^n)$ 상의 자기동형사상군의 부분군이며, Frobenius 자기동형사상으로 생성되는 순환군과 동일하다. 즉,

$$\mathcal{G}(GF(2^n)/GF(2)) = \langle x^2 \rangle$$

이다.

■ 따름정리 1 \mathcal{EP}_n 의 모든 선형 치환들의 집합은 순환부분군 $\langle x^2 \rangle \subset \mathcal{EP}_n$ 이다.

$GF(2^n)$ 상의 치환들의 집합에 관계(relation)를 정의한다.

■ 정의 1 $P = (p_1, \dots, p_n)$, $Q = (q_1, \dots, q_n) \in P_n$ 에 대해서, P_n 상의 관계를 다음으로 정의한다.

$P = L_A \circ Q$ 를 만족하는 $n \times n$ 정칙 행렬(nonsingular matrix) A 가 존재하면 $P \sim Q$ 이다.

여기서 L_A 는 행렬 A 의 선형 변환(linear transformation)이다. 성분 함수(component function)의 관점에서 보면, 위에 정의한 관계는 다음과 같다.

$P \sim Q \Leftrightarrow P$ 와 Q 의 성분 함수 p_i 와 q_i 에 대해서

$p_i = \sum_{j=1}^n a_{ij} q_j$, $1 \leq i \leq n$ 를 만족하는 정칙 행렬 $A = (a_{ij}) \in GL_n(GF(2))$ 가 존재한다.

■ 보조정리 1 정의 1에 정의된 관계는 동치

관계이다.

정의 1에 정의된 관계가 동치 관계이므로, $P_n / \sim = \{\bar{P} \mid P \in P_n\}$ 에 대해, $\bar{P} = \{Q \in P_n \mid P \sim Q\}$ 이고, $P_n = \bigcup_{P \in P_n} \bar{P}$ 이다. 따라서, 집합 \mathbf{EP}_n / \sim 을 $\mathbf{EP}_n / \sim = \{\bar{x}^e \cap \mathbf{EP}_n \mid x^e \in \mathbf{EP}_n\}$ 으로 정의할 수 있다. 다음으로 $\bar{x}^{e_1} \cap \mathbf{EP}_n, \bar{x}^{e_2} \cap \mathbf{EP}_n \in \mathbf{EP}_n / \sim$ 에 대해서, \mathbf{EP}_n / \sim 상의 연산 *를 $(\bar{x}^{e_1} \cap \mathbf{EP}_n) * (\bar{x}^{e_2} \cap \mathbf{EP}_n) = \overline{x^{e_1} \circ x^{e_2}} \cap \mathbf{EP}_n$ 으로 정의하자. 그러면, \mathbf{EP}_n 가 가환군이므로, 연산 *는 잘 정의되며(well-defined), 따라서, \mathbf{EP}_n / \sim 은 군이다.

■ 정리 2 $x^e \in \mathbf{EP}_n$ 에 대해, $\bar{x}^e \cap \mathbf{EP}_n = \langle x^2 \rangle_{x^e}$ 이다.

■ 증명. 따름 정리 1에 의하여, $\langle x^2 \rangle_{x^e} \subset \bar{x}^e \cap \mathbf{EP}_n$ 이다. 역으로, $y \in \bar{x}^e \cap \mathbf{EP}_n$ 에 대해서, $y = L_A \circ x^e$ 그리고, $y = x^i$ 를 만족하는 정칙 행렬 A와 정수 i가 존재한다. 따름 정리 1에 의해서, 어떤 k에 대해, $L_A = x^{i+k} = x^{2k}$ 이다.

정리 2에 의해서, ϕ 가 오일러의 함수(Euler function)일 때, $\mathbf{EP}_n / \sim = \mathbf{EP}_n / \langle x^2 \rangle$ 이고 $\#(\mathbf{EP}_n / \sim) = \frac{\phi(2^n - 1)}{n}$ 이다.

다음으로, 유한체 $GF(2^n)$ 상의 지수 함수의 암호학적 성질을 알아보자. 정의 1에 정의된 동치 관계와 암호학적 성질에 의하여 $GF(2^n)$ 상의 지수 함수들을 분류할 수 있다. 먼저, 임의의 동치류에 속하는 지수 함수들은 동일한 비선형치와 대수적 차수를 가짐을 증명한다.

■ 보조정리 2 $P(x) = x^e$ 를 $GF(2^n)$ 상의 지수 함수라 하자. 그러면 다음이 성립한다.

1. $P(x)$ 의 성분 함수의 모든 선형 결합 (linear combination)들의 대수적 차수는 $wt(e)$ 이다.

2. $P(x)$ 의 성분 함수의 모든 선형 결합들의 비선형치는 동일하다.

■ 증명. 1의 증명은 참고 문헌 [7]에 되어 있다. $P(x) = x^e$ 이 치환이고, $gcd(e, 2^{n-1}) = 1$ 이므로, $t_1 e + t_2 (2^{n-1}) = 1$ 인 $t_1, t_2 \in \mathbb{Z}$ 가 존재한다. 그러므로, 임의의 $x = GF(2^n)$ 에 대해서,

$$x = x^1 = (x^{2^{n-1}})^{t_2}(x^e)^{t_1} = (x^e)^{t_1} = P(x)^{t_1}$$

이다. $p_i(x)$ 를 $P(x)$ 의 성분 함수들의 임의의 선형 결합이라 하자. 그러면, 어떤 $\alpha_i \in GF(2^n)$ 에 대해서, 다음이 성립한다 [10].

$$\begin{aligned} p_i(x) &= Tr(\alpha_i P(x)) \\ &= Tr(P(\alpha_i) \circ P(x)) \\ &= Tr(P(\alpha_i) x). \end{aligned}$$

그러므로, $A_i : GF(2^n) \rightarrow GF(2^n)$ 를 $A_i(x) = \alpha_i x$ 로 정의하면, $p_i = Tr \circ P \circ A_i$ 에 대해서, 비선형치는 변화하지 않는다. 그리고, A_i 는 선형 함수이다. 따라서,

$$N_{p_k} = N_{Tr \circ P}$$

이다.

$P(x)$ 의 성분 함수 $p_i(x)$ 들의 임의의 선형 결합의 대수적 차수 및 비선형치가 동일하므로, $\deg(P(x)) = \deg(p_i(x))$ 과 $N_p = N_{p_i}$ 로 나타낼 수 있다. 정리 2와 보조정리 2에 의해서, 다음을 얻는다.

■ 정리 3 $P \sim Q$ 인 $P, Q \in \mathbf{EP}_n$ 에 대해서 다음이 성립한다.

1. $N_p = N_Q$,
2. $\deg(P) = \deg(Q)$.

P 를 n 개의 입력변수를 가지는 치환이라 할 때, P 의 입·출력 변화 공격법에 대한 안전성을 분석하기 위하여, 집합

$$D_p(a, b) = \{x \in GF(2)^n \mid P(x \oplus a) \oplus P(x) = b\}, \quad a \neq 0$$

에 대해,

$$\delta_p(a, b) = \#D_p(a, b)$$

이 필요하며, 다음을 치환 P 의 입·출력 변화 공격법에 대한 안전성의 척도(differential resistance)로 삼는다.

$$\Delta_p = \max_{a \neq 0, b} \delta_p(a, b).$$

유사하게, 선형 공격법에 대한 안전성을 분석하기 위하여, 집합

$$L_p(a, b) = \{x \in GF(2^n) \mid (a \cdot x) \oplus (b \cdot P(x)) = 0\}, \quad b \neq 0$$

에 대해,

$$\lambda_p(a, b) = \#L_p(a, b) - 2^{n-1}$$

이 필요하며,

다음을 선형 공격법에 대한 안전성의 척도(linear resistance)로 삼는다.

$$\lambda_p(a, b) = \max_{a \neq 0, b} |\lambda_p(a, b)|.$$

치환 P 는 Δ_p 와 Λ_p 가 작을 수록, 입·출력 변화 공격법과 선형 공격법에 대하여 안전하다. $\Delta_p = \delta$ 일 경우, P 를 입·출력 변화 관점에서 δ 균등하다고 한다(differentially δ -uniform). Δ_p 가 최소 값을 가지면, P 는 입·출력 변화 공격법에 대하여 내성을 가진다(differential resistant). 또한, Λ_p 가 최소 값을 가지면, P 는 선형 공격법에 대하여 내성을 가진다(linear resistant)^[8]. 참고 문헌 [13], [17]과 정리 3에 의해, 다음 결과를 얻는다.

■ 정리 4 $P \sim Q$ 인 $P, Q \in EP_n$ 에 대해 다음이 성립한다.

1. $\Delta_p = \Delta_Q$
2. $\Lambda_p = \Lambda_Q$

정리 4에 의하여, 임의의 동치류에 속하는 지수 함수들은 동일한 Δ_p 와 Λ_p 를 가진다. 참고 문헌 [13]에는 유한체 $GF(2^n)$ 상의 지수 함수 중 특별한 형태의 지수 함수 P 에 대하여, P 의 대수적 차수, Δ_p , 그리고 Λ_p 가 증명되어 있는데, 이를 정리하면 표 1과 같다.

표 1 특수한 형태를 가지는 유한체 $GF(2^n)$ 상의 지수 함수 $P = x^r$ 의 대수적 차수, Δ_p , Λ_p

| P | $\deg(P)$ | Δ_p | Λ_p | 조건 |
|-------------------|-----------------|------------|-------------------------|-------------------------------------|
| x^{2k+1} | 2 | 2^s | $2^{\frac{n+s}{2}} - 1$ | $s = \gcd(n, k)$ $\frac{n}{s}$ 은 홀수 |
| $(x^{2k+1})^{-1}$ | $\frac{n+1}{2}$ | 2 | $2^{\frac{n-1}{2}}$ | $\gcd(n, k) = 1$ n 은 홀수 |
| x^{-1} | $n-1$ | 2 | $\geq 2^{\frac{n}{2}}$ | n 은 홀수 |
| x^{-1} | $n-1$ | 4 | $\geq 2^{\frac{n}{2}}$ | n 은 짝수 |

다음으로, 정의 1의 동치 관계에 의해 $GF(2^7)$ 과 $GF(2^8)$ 상의 지수 함수들을 분류한다. 표 2는 $GF(2^7)$ 상의 지수 함수들을 분류한 것이다. 표 2

에서, 동치류 (P1, P13), (P2, P11), (P3, P9), (P4, P16), (P5, P6), (P7, P15), (P8, P14), (P10, P12)은 각각 역함수 관계이다. 그리고,

표2 : $GF(2^7)$ 상의 지수 함수의 분류

| 동치류 | 대수적 차수 | 비선형치 | Δ | A | 지 수 | | | | | | | |
|-----|--------|------|----------|----|-----|----|-----|-----|-----|-----|-----|--|
| | | | | | 3 | 6 | 12 | 24 | 48 | 65 | 96 | |
| P1 | 2 | 56 | 2 | 8 | 5 | 10 | 20 | 33 | 40 | 66 | 80 | |
| P2 | 2 | 56 | 2 | 8 | 9 | 17 | 18 | 34 | 36 | 68 | 72 | |
| P3 | 2 | 56 | 2 | 8 | 7 | 14 | 28 | 56 | 67 | 97 | 112 | |
| P4 | 3 | 44 | 6 | 20 | 11 | 22 | 44 | 49 | 69 | 88 | 98 | |
| P5 | 3 | 56 | 2 | 8 | 13 | 26 | 35 | 52 | 70 | 81 | 104 | |
| P6 | 3 | 56 | 2 | 8 | 19 | 25 | 38 | 50 | 73 | 76 | 100 | |
| P7 | 3 | 44 | 4 | 20 | 21 | 37 | 41 | 42 | 74 | 82 | 84 | |
| P8 | 3 | 44 | 6 | 20 | 15 | 30 | 71 | 99 | 113 | 120 | 160 | |
| P9 | 4 | 56 | 2 | 8 | 23 | 46 | 57 | 75 | 91 | 101 | 114 | |
| P10 | 4 | 56 | 2 | 8 | 27 | 51 | 54 | 77 | 89 | 102 | 108 | |
| P11 | 4 | 56 | 2 | 8 | 29 | 39 | 58 | 78 | 83 | 105 | 116 | |
| P12 | 4 | 56 | 2 | 8 | 43 | 45 | 53 | 85 | 86 | 90 | 106 | |
| P13 | 4 | 56 | 2 | 8 | 31 | 62 | 79 | 103 | 115 | 121 | 124 | |
| P14 | 5 | 44 | 6 | 20 | 47 | 61 | 87 | 94 | 107 | 117 | 122 | |
| P15 | 5 | 44 | 4 | 20 | 55 | 59 | 91 | 93 | 109 | 110 | 118 | |
| P16 | 5 | 44 | 6 | 20 | 63 | 95 | 111 | 119 | 123 | 125 | 126 | |
| P17 | 6 | 54 | 2 | 10 | 1 | 2 | 4 | 8 | 16 | 32 | 64 | |
| P18 | 1 | 0 | 128 | 64 | | | | | | | | |

동치류 P17에 속하는 지수 함수들은 x^{-1} 와 동치 관계이다. 동치류 P18에 속하는 지수 함수들은 선형이다. $GF(2^7)$ 상의 지수 함수들 중, 동치류 P9, P10, P11, P12, P13들이 가장 우수한 암호학적 성질을 가지며, 입·출력 변화 공격법과 선형 공격법에 대하여 내성을 가진다. 표 3은 $GF(2^8)$ 상의 지수 함수들을 분류한 것이다. 표 3에서, 동치류 (P1, P5), (P2, P7), (P3, P12), (P4, P11), (P6, P13), (P10, P14)은 서로 역함수 관계이다. 그리고, 동치류 P8과 P9의 지수 함수들은 각 동치류 내에 역함수를 가진다. 또한, 동치류 P15의 지수 함수들은 x^{-1} 와 동치 관계이며, 동치류 P16에 속하는 지수 함수들은 선형 함수이다. $GF(2^8)$ 상의 지수 함

수들 중에 동치류 P15에 속하는 지수 함수들의 암호학적 성질이 가장 우수하다.

3. 응 용

본 장에서는 2장 결과의 3가지 응용 방법을 서술한다.

3.1 $n \times 2n$ S-box 설계

첫 번째 응용으로 $GF(2^n)$ 상의 지수 함수의 연접에 의한 $n \times 2n$ S-box의 설계 방법을 제안하고, 설계된 $n \times 2n$ S-box의 입·출력 변화 공격법과 선형 공격법에 대한 안전성을 분석

한다. 그리고, $GF(2^n)$ 상의 2개의 지수 함수의 연접에 의해 설계된 8×16 S-box S 의 Δ_s 와 Λ_s 를 조사한다.

임의의 $n \times 2n$ S-box S 에 대해서, $\Delta_s \geq \max(2, 2^{n-m})$ 이다. $n > m$ 일 때, 최소 입·출력 변화 균등치(differential uniformity)가 2^{n-m} 이기 위해서는, $n \geq 2m$ 이고 n 이 짝수이며, 그 역 또한 성립하고, 이러한 S-box를 완전 비선형(perfect nonlinear)이라 한다^[12]. $n > m$ 인 임의의 S-box는 출력의 경우의 수보다 입력의 경우의 수가 많다. 이것은 두 개 또는 그 이상의 입력이 동일한 출력을 결정하는 경우가 적어도 한 개 이상 존재함을 의미한다. 즉, 한 개 또는 그 이상의 입력 XOR(exclusive-or)가 출력 XOR값을 0으로 가진다. 따라서, $n > m$ 인 S-box에 대해 지금 언급한 경우가 높은 확률을 가지면, 입·출력 변화 공격시 사용될 수 있다. 이러한 사실은 DES(Data Encryption Standard)^[15] 형 알고리즘에 적용된다. 실제로, 참고문헌 [3]에서 벤트 함수(bent function) 기반 S-box가 $n > m$ 인 경우에 약점을 가짐을 보이고, 특히, 벤트 함수 기반 6×4 S-box가 DES에 사용되면, DES는 약 2^{30} 개의 선택 평문에 의해 해독됨을 보였다. 그러나, $n > m$ 이면, 이러한 공격 방법은 각 입력이 유일한 출력에 대응되므로 불가능하다. 실제로, 출력 비트 길이가 입력 비트 길이보다 충분히 큰 단사(injective) S-box를 사용하는 것은 $\delta_s(a, b)$ 를 감소시킨다. 최근 제안된 블록 알고리즘인 CAST^[11] 와 Blowfish^[16]에서 $n \leq m$ 인 S-box를 사용하였다. 그리고, 참고문헌 [18]에는 랜덤하게 선택된 단사 S-box의 Λ_s 값을 이론적으로 추정하였으며, 컴퓨터 조사로 통하여 $m > 8$ 인 $8 \times m$ 단사 S-box의 Λ_s 를 구하고, 이론적 추정치와 비교하였다. $GF(2^n)$ 상의 2개 지수 함수 P_i 와 P_j 의 연접에 의해 $n \times 2n$ S-box를 얻을 수 있다. 즉, $S(x) = (P_i(x), P_j(x))$ 이다. 이 방법으로 설계된 S-box는 단사 함수이다. 다음

정리는 이 방법으로 설계된 S-box의 입·출력 변화 내성과 선형 내성을 분석하기 위하여 필요하다.

■ 정리 5^[14] 임의의 함수 $F : Z_2^n \rightarrow Z_2^m$ 의 성분 함수가 f_1, \dots, f_m 이고, $g : Z_2^n \rightarrow Z_2$ 라 하자. 그리고 $\tilde{F} = (f_1, \dots, f_m, g)$ 라 하자. 그러면 다음이 성립한다.

1. $\Delta_f \geq \Delta_{\tilde{F}} \geq \frac{1}{2}\Delta_f$,
2. $\Delta_{\tilde{F}} \geq \max(\Delta_f, \Delta_g) \geq \Delta_f$.

정리 5에 의하면, 임의의 2개의 지수 함수 P_i 와 P_j 의 연접에 의해 설계된 $n \times 2n$ S-box $S = (P_i, P_j)$ 의 Δ_s 는 Δ_{P_i} 보다 같거나 작고, Λ_s 는 Λ_{P_i} 와 Λ_{P_j} 의 최대값보다 같거나 크다. 이제 컴퓨터 조사를 통해 $GF(2^8)$ 상의 2개의 지수 함수의 연접에 의해 설계된 모든 8×16 S-box의 Δ_s 와 Λ_s 를 알아보자. 먼저 다음을 증명한다.

■ 정리 6 $P_1, P_2, Q_1, Q_2 \in \mathcal{EP}_n$ 를 $P_1 \sim P_2$ 이고 $Q_1 \sim Q_2$ 라 하고, $S_1 = (P_1, Q_1)$, $S_2 = (P_2, Q_2)$ 라 하면, 다음이 성립한다.

1. $\Delta_{S_1} = \Delta_{S_2}$,
2. $\Lambda_{S_1} = \Lambda_{S_2}$.

■ 증명 정의 1에 의해, $P_1 = A \circ P_2$ 이고 $Q_1 = B \circ Q_2$ 인 정칙 행렬 $A, B \in GL_n(GF(2))$ 가 존재한다. $\alpha \in Z_2^n$, $\beta = (\beta_1, \beta_2) \in Z_2^m$ 라 하면, 다음이 성립한다.

$$\begin{aligned} \delta_{S_1}(\alpha, \beta) &= \#\{x \mid (P_1, Q_1)(x) \oplus (P_1, Q_1)(x \oplus \alpha) = (\beta_1, \beta_2)\} \\ &= \#\{x \mid (P_1(x) \oplus P_1(x \oplus \alpha)) \cdot (Q_1(x) \oplus Q_1(x \oplus \alpha)) = (\beta_1, \beta_2)\} \\ &= \#\{x \mid (P_2(x) \oplus P_2(x \oplus \alpha)) \cdot (A(Q_2(x \oplus \alpha))) = (A(\beta_1), B(\beta_2))\} \end{aligned}$$

$$= \delta_{S_2}(A(\beta_1), B(\beta_2))$$

즉, $\Delta_{S_1} = \Delta_{S_2}$ 이다. 그리고, 정의 1에 의해 $\Lambda_{S_1} = \Lambda_{S_2}$ 이다.

정리 6에 의해 $GF(2^n)$ 상의 2개의 지수 함수의 연접에 의해 설계되는 모든 $n \times 2n$ S-box S 의 Δ_s 와 Λ_s 를 조사하려면, 서로 다른 동치류에 속하는 P_i 와 P_j 에 의해 설계되는 $n \times 2n$ S-box의 Δ_s 와 Λ_s 만을 조사하면 된다. 이를 바탕으로, 컴퓨터 조사를 통해 $GF(2^8)$ 상의 모든 지수 함수에 의해 설계되는 모든 8×16 S-box의 Δ_s 와 Λ_s 를 얻었으며, 그 결과를 표 4와 표 5에 수록하였다. 표 4와 표 5에서 각 원소는 $S = (P_i, P_j)$ 의 Δ_s 와 Λ_s 를 의미하며, i 는 행을, j 는 열을 의미한다. 정리 5와 표 4에 의하면, $GF(2^n)$ 상의 2개의 지수 함수의 연접에 의해서

생성되는 대부분의 $n \times 2n$ S-box는 입·출력 변화 공격 관점에서 매우 우수하다. 그러나, 선형 공격 관점에서는 일반적으로 그 안전성을 충분히 제공하지 못한다. 특히, 동일한 동치류에 속하는 지수 함수들의 연접으로 생성된 S-box들은 $\Lambda_s = 2^{n-1}$ 으로, 선형 공격 관점에서 가장 좋지 않은 특성을 가진다. 이는 동일한 동치류에 속하는 지수 함수의 성분 함수들이 역시 동일한 동치류에 속하는 지수 함수의 성분 함수의 선형 결합으로 표시되기 때문이다. 그러나, 서로 다른 동치류에 속하는 두 지수 함수를 연접하여 설계된 S-box들은 표 5에서와 같이, 선형 공격 관점에서 비교적 우수한 성질을 가진다. 따라서, 제안하는 설계 방법을 통하여, 입·출력 공격법과 선형 공격법 관점에서 우수한 $n \times 2n$ S-box를 충분히 생성할 수 있다.

표 4 : $GF(2^8)$ 상의 2개 지수 함수의 연접으로 설계된 모든 8×16 S-box 들의 Δ_s

| | P_1 | P_2 | P_3 | P_4 | P_5 | P_6 | P_7 | P_8 | P_9 | P_{10} | P_{11} | P_{12} | P_{13} | P_{14} | P_{15} | P_{16} |
|----------|-------|-------|-------|-------|-------|-------|-------|-------|-------|----------|----------|----------|----------|----------|----------|----------|
| P_1 | 6 | 4 | 4 | 4 | 4 | 4 | 4 | 4 | 4 | 4 | 4 | 4 | 4 | 4 | 4 | 4 |
| P_2 | 4 | 10 | 4 | 4 | 4 | 4 | 4 | 4 | 4 | 4 | 4 | 4 | 4 | 4 | 4 | 10 |
| P_3 | 4 | 4 | 12 | 4 | 4 | 4 | 4 | 4 | 12 | 4 | 4 | 12 | 4 | 4 | 4 | 12 |
| P_4 | 4 | 4 | 4 | 16 | 4 | 16 | 4 | 4 | 16 | 16 | 16 | 4 | 16 | 16 | 4 | 16 |
| P_5 | 4 | 4 | 4 | 4 | 6 | 4 | 4 | 4 | 4 | 4 | 4 | 4 | 4 | 4 | 4 | 6 |
| P_6 | 4 | 4 | 4 | 16 | 4 | 16 | 4 | 4 | 16 | 16 | 16 | 4 | 16 | 16 | 4 | 16 |
| P_7 | 4 | 4 | 4 | 4 | 4 | 4 | 10 | 4 | 4 | 4 | 4 | 4 | 4 | 4 | 4 | 10 |
| P_8 | 4 | 4 | 4 | 4 | 4 | 4 | 4 | 30 | 4 | 4 | 4 | 4 | 4 | 4 | 4 | 30 |
| P_9 | 4 | 4 | 12 | 16 | 4 | 16 | 4 | 4 | 16 | 16 | 16 | 12 | 16 | 16 | 4 | 16 |
| P_{10} | 4 | 4 | 4 | 16 | 4 | 16 | 4 | 4 | 16 | 16 | 16 | 4 | 16 | 16 | 4 | 16 |
| P_{11} | 4 | 4 | 4 | 16 | 4 | 16 | 4 | 4 | 16 | 16 | 16 | 4 | 16 | 16 | 4 | 16 |
| P_{12} | 4 | 4 | 12 | 4 | 4 | 4 | 4 | 4 | 12 | 4 | 4 | 12 | 4 | 4 | 4 | 12 |
| P_{13} | 4 | 4 | 4 | 16 | 4 | 16 | 4 | 4 | 16 | 16 | 16 | 4 | 16 | 16 | 4 | 16 |
| P_{14} | 4 | 4 | 4 | 16 | 4 | 16 | 4 | 4 | 16 | 16 | 16 | 4 | 16 | 16 | 4 | 16 |
| P_{15} | 4 | 4 | 4 | 4 | 4 | 4 | 4 | 4 | 4 | 4 | 4 | 4 | 4 | 4 | 4 | 4 |
| P_{16} | 6 | 10 | 12 | 16 | 6 | 16 | 10 | 30 | 16 | 16 | 16 | 12 | 16 | 16 | 4 | 256 |

3.2 Beth의 가설의 오류

Eurocrypt '93^[2]에서 Beth는 다음 가설을 제안하였다.

■ 가설 : n 과 $2^n - 1$ 을 소수라 하면, $2 \leq i \leq n-1$ 에 대해서, 방정식 $Y^{2^m} - 1 + 1 = r(Y + 1)$, $r \neq 0$, 1은 $GF(2^n)$ 에서 1 이외에 많아야 두 개의 근을 가진다. 또한, $2 \leq m \leq n-1$ 인 x^{2^m} ¹의 형태를 가지는 임의의 치환은 Beth의 가설

이 사실이라면 입·출력 변화 공격법에 대하여 내성을 가진다.

$n = 7$ 이면 n 과 $2^n - 1$ 은 소수이다. 그러나, $m = 3$ 인 경우에 지수 함수 $x^{2^{m-1}} = x^7$ 은 표 2에서 보면 입·출력 변화 공격법에 대한 내성을 가지지 않는다. 그러므로, Beth의 가설은 사실이 아니다. 이 사실은 본 논문의 결과와는 별도로 참고 문헌 [9]에서 저자들은 $GF(2^n)$ 에서 1이 아닌 3개의 근을 발견하여, Beth의 가설이 틀렸음을 밝힌 바 있다.

표 5 : $GF(2^8)$ 상의 2개 지수 함수의 연점으로 설계된 모든 8×16 S-box 들의 Λ_s

| | P ₁ | P ₂ | P ₃ | P ₄ | P ₅ | P ₆ | P ₇ | P ₈ | P ₉ | P ₁₀ | P ₁₁ | P ₁₂ | P ₁₃ | P ₁₄ | P ₁₅ | P ₁₆ |
|-----------------|----------------|----------------|----------------|----------------|----------------|----------------|----------------|----------------|----------------|-----------------|-----------------|-----------------|-----------------|-----------------|-----------------|-----------------|
| P ₁ | 128 | 40 | 32 | 32 | 32 | 48 | 32 | 48 | 32 | 48 | 32 | 32 | 36 | 40 | 32 | 128 |
| P ₂ | 40 | 128 | 32 | 32 | 32 | 32 | 48 | 32 | 32 | 32 | 48 | 48 | 48 | 32 | 32 | 128 |
| P ₃ | 32 | 32 | 128 | 48 | 40 | 36 | 32 | 48 | 56 | 48 | 40 | 56 | 32 | 32 | 48 | 128 |
| P ₄ | 32 | 32 | 48 | 128 | 40 | 48 | 32 | 48 | 48 | 64 | 48 | 48 | 40 | 48 | 40 | 128 |
| P ₅ | 32 | 32 | 40 | 40 | 128 | 32 | 32 | 48 | 32 | 32 | 32 | 36 | 48 | 32 | 48 | 128 |
| P ₆ | 48 | 32 | 36 | 48 | 32 | 128 | 32 | 48 | 40 | 32 | 48 | 32 | 48 | 40 | 48 | 128 |
| P ₇ | 32 | 32 | 32 | 32 | 32 | 32 | 128 | 48 | 32 | 48 | 40 | 32 | 32 | 48 | 48 | 128 |
| P ₈ | 48 | 48 | 48 | 48 | 48 | 48 | 48 | 128 | 48 | 48 | 48 | 48 | 48 | 48 | 48 | 128 |
| P ₉ | 32 | 32 | 56 | 48 | 32 | 40 | 32 | 48 | 128 | 40 | 48 | 56 | 32 | 32 | 48 | 128 |
| P ₁₀ | 48 | 32 | 48 | 64 | 32 | 32 | 48 | 48 | 40 | 128 | 40 | 40 | 48 | 64 | 32 | 128 |
| P ₁₁ | 32 | 32 | 40 | 48 | 32 | 48 | 40 | 48 | 48 | 40 | 128 | 48 | 48 | 64 | 48 | 128 |
| P ₁₂ | 32 | 48 | 56 | 48 | 36 | 32 | 32 | 48 | 56 | 40 | 48 | 128 | 32 | 32 | 40 | 128 |
| P ₁₃ | 36 | 48 | 32 | 40 | 48 | 48 | 32 | 48 | 32 | 48 | 48 | 32 | 128 | 40 | 32 | 128 |
| P ₁₄ | 40 | 48 | 32 | 48 | 32 | 40 | 48 | 48 | 32 | 64 | 64 | 32 | 40 | 128 | 48 | 128 |
| P ₁₅ | 32 | 32 | 48 | 40 | 48 | 48 | 48 | 48 | 48 | 32 | 48 | 40 | 32 | 48 | 128 | 128 |
| P ₁₆ | 128 | 128 | 128 | 128 | 128 | 128 | 128 | 128 | 128 | 128 | 128 | 128 | 128 | 128 | 128 | 128 |

3.3 LOKI S-box의 암호학적 성질

블록 알고리즘 LOKI^[6, 5]의 안전성은 $GF(2^8)$ 상의 지수 함수 x^{31} 에 의존한다. 그러나, 표 3에 의하면, 동치류 P15에 속하는 지수 함수들이 x^{31} 보다 대수적 차수와 입·출력 변화 특

성 면에서 우수한 성질을 가진다. 물론 이 사실이 LOKI의 S-box를 표 3의 동치류 P15에 속하는 지수 함수로 대체하였을 때, LOKI의 안전성이 좋아진다는 것을 의미하는 것은 아니기 때문에, S-box를 대체한 LOKI의 전체 알고리즘에 대한 충분한 분석이 이루어져야 한다.

4. 결 론

지금까지 본 논문에서는 $GF(2^n)$ 상의 지수 함수들의 군에 동치 관계를 정의하고, 동일한 동치류에 속하는 지수 함수들은 동일한 암호 학적 성질을 가짐을 증명하였다. 다음으로, 컴퓨터 조사를 통하여, 실제로 $GF(2^7)$ 과 $GF(2^8)$ 상의 지수 함수들을 분류하였다. 지수 함수 분류의 응용으로 2개 지수 함수의 연접에 의한 $n \times 2n$ S-box의 설계 방법을 제안하고, 그들의 입·출력 변화 공격법과 선형 공격법에 대한 안전성을 분석하였다. 그리고, Beth의 가설이 그릇된 것임을 반례를 들어 증명하였고, LOKI에 사용된 S-Box보다 암호학적 성질이 우수한 치환이 존재함을 예를 통하여 보였다.

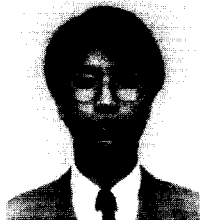
참 고 문 헌

- [1] Carlisle M. Adams and Stafford E. Tavares. Designing S-boxes for ciphers resistant to differential cryptanalysis. In *the 3rd symposium of state and progress of research in cryptography, Rome, Italy*, pages 386-397, 1994.
- [2] T. Beth and C. Ding. On almost perfect nonlinear permutations. In Tor Helleseth, editor, *Advances in Cryptology - EUROCRYPT'93, volume 765 of Lecture Notes in Computer Science*, pages 65-76. Springer-Verlag, Berlin, 1994.
- [3] Eli Biham. *Differential cryptanalysis of DES-like cryptosystems*. PhD thesis, Wizezman Institute of Science, Rehovot, Israel, 1992.
- [4] Eli Biham and Adi Shamir. Differential cryptanalysis of DES-like cryptosystems. *Journal of Cryptology*, 4(1):3-72, 1991
- [5] Lawewnce Brown, Matthew Kwan, Josef Pieprzyk, and Jennifer Seberry. Improving resistance to differential crytanalysis and the redesign of LOKI. In Hideki Imai, Ronald L. Rivest, and Tsutomu Matsumoto, editors, *Advances in Cryptology - ASIACRYPT'91, vilume 739 of Lecture Notes in computer Sience*, pages 36-50. Springer-Verlag, Berlin, 1993.
- [6] Lawewnce Brown, Josef Pieprzyk, and Jennifer Seberry. LOKI - a cryptographic primitive for authentication and secrecy applications. In Jennifer Seberry and Josef Pieprzyk, editor, *Advances in Cryptology - AUSCRYPT'90, volume 453 of Lecture notes in Computer Science*, pages 229-236. Springer-Verlag, Berlin, 1990.
- [7] C. Carlet. *Codes de Reed-Muller*. PhD thesis, Institute Blasie Pascal, Université Paris, 1990.
- [8] Florent Chabaud and Serge Vaudenay. Links between differential and linear cryptoanalysis. In Alfredo De Santis editor, *Advances in Cryptology: EUROCRYPT'94, volume 950 of Lecture Notes in Computer Science*, pages 356-365. Springer-Verlag, Berlin, 1995.
- [9] D. Feng and B. Liu. Almost perfect nonlinear permutations. *Electronics Letters*, 30(3):208-209, Feb 1994.
- [10] R. Lidl and H. Niederreiter. Finite fields. In *Encyclopedia of Mathematics and its Applications*, volume 20. Addison-Wesley, 1983.
- [11] Mitsuru Matsui. Linear cryptanalysis method for DES cipher. In Tor Helleseth, editor, *Advances in Cryptology: EUROCRYPT'93, volume 765 of Lecture Notes in Computer Science*, pages 386-397. Springer-Verlag, Berlin, 1994.
- [12] Kaisa Nyberg. Perfect nonlinear S-boxes. In D. W. Davices, editor, *Advances in Cryptology: EUROCRYPT'91, volume 547 of Lecture Notes in Computer Science*, pages 378-386. Springer-verlag, Berlin, 1991.

- [13] Kasia Nyberg. Differentially uniform mappings for cryptography. In Tor Helleseth, editor, *Advances in Cryptology: EUROCRYPT'93, volume 765 of Lecture Notes in Computer Science*, pages 55-64. Springer-Verlag, Berlin, 1994.
- [14] Kaisa Nyberg. S-boxes and round functions with controllable linearity and differential uniformity. In Bart Preneel, editor, *Fast Software Encryption: Second International Workshop, volume 1008 of Lecture Notes in Computer Science*, pages 111-130. Springer-Verlag, Berlin, 1995.
- [15] National Bureau of Standards. FIPS PUB 46 : Data Encryption Standard, January 1997.
- [16] Bruce Schneier. Description of a new variable-length key, 64-bit block cipher(blowfish). In Ross Anderson, editor, *Fast software encryption, Cambridge Security Workshop, volume 809 of Lecture Notes in Computer Science*, pages 191-204. Springer-Verlag, Berlin, 1994.
- [17] Jennifer Seberry, Xian-Mo Zhang, and Yuliang Zheng. Systematic generation of cryptographically robust S-boxes. In *Proceedings of the first ACM Conference on Computer and Communication Security*, pages 172-182, 1993.
- [18] A. Youssef, Stafford E. Tavares, S. Mister, and Carlisle M. Adams. Linear approximation of injective s-boxes. *Electronics Letters*, 31(25):2165-2166, Dec 1995.

□ 簽者紹介

박상우



1985년 ~ 1989년 고려대학교 사범대학 수학교육과(이학사)
 1989년 ~ 1991년 고려대학교 대학원 수학과(이학석사 : 응용수학 및 확률론)
 1991년 ~ 현재 한국전자통신연구소 연구원

김광조(정회원)



1973년 ~ 1980년 연세대학교 전자공학과(학사)
 1981년 ~ 1983년 연세대학교 대학원 전자공학과(석사)
 1988년 ~ 1991년 요코하마 국립대학 대학원 전자정보공학과(박사)
 현 한국전자통신연구소 실장,
 본 학회 암호이론연구회 및 ISO/IEC JTC1 JSC-27 의장,
 KIISC, IEICE, IEEE, IACR 각 회원

* 주관심 분야 : 암호학 및 응용 분야, M/W 통신